

## アルゴル型食連星 XZ And の光度曲線解析

矢 田 猛 士\*・鳴 沢 真 也\*\*

### Light Curve Analysis of Algol-type Eclipsing Binary XZ Andromedae

Takeshi Yada and Shin-ya Narusawa

**Abstract :** The Shimane Nature Museum of Mt. Sanbe is working on multicolor photometric observation of eclipsing binary as an observation target using a small and medium-sized telescope at the public observatory. The results of light curve analysis of Algol-type Eclipsing Binary XZ Andromedae were reported in this paper.

**要旨：**島根県立三瓶自然館では、公開天文台における中小口径望遠鏡を使った観測テーマとして食連星の多色測光観測に取り組んでいる。本稿では三瓶自然館におけるアルゴル型食連星 XZ And の観測と光度曲線解析の結果を報告する。

**キーワード：**食連星、光度曲線解析、PHOEBE (PHysics Of Eclipsing BinariEs)

### 1. はじめに

典型的なアルゴル型食連星であるXZ Andは、Miss Leavitt により発見され (Shapley, 1923), これまでに眼視 (例えばLause, 1934), 光電測光 (例えばBlitzstein, 1954), CCD (例えばYang, 2013) および視線速度 (例えばManzoori, 2016) 等の観測が報告されている。スペクトル型は、主星はHill et al. (1975) により暫定的にA4IV-Vと報告された後, Halbedel (1984) によりA1Vに再同定され, 伴星はG5 (Giuricin et al., 1983) に分類されている。また, XZ Andは公転周期が変化することで知られており、周期的な成分については、伴星の磁気活動が原因のひとつとして指

表1 XZ Andについて

Type:	Eclipsing binary of Algol type (EA)
Position (2000.0):	01h 56m 51.5s, +42d 06' 02"
Brightness:	9.91 to 12.45 mag
Epoch and Period:	2452500.599 + E * 1.3572795 days
Source:	GCVS

摘されている (Demircan et al., 1995).

島根県立三瓶自然館は、大山隠岐国立公園三瓶山地区に位置する自然系博物館で、国立公園のビジターセンターとして1991年に三瓶山の北の原に開館した。その後、三瓶山の噴火で埋もれた縄文時代の森（三瓶小豆原埋没林）の発見などを受け、2002年に拡充整備が行われ、あわせてカセグレン式60 cm 反射望遠鏡 (F10, 西村製作所) 1基、クーデ式20 cm 屈折望遠鏡 (F9, 五藤光学研究所) 4基が設置された。これらは公開天文台の天体望遠鏡として活用され、来館者の生涯学習に貢献している。また、2012年11月には冷却CCDによるUBVRcIc測光システムが整備され、公開天文台における中小口径望遠鏡を使った観測テーマの開拓と普及の一環としてXZ Andの多色測光観測に取り組んでいる (例えば矢田, 2015)。本稿では、これまでに得られた観測データについて、PHOEBE (PHysics Of Eclipsing BinariEs) を使用した光度曲線解析の結果について報告する。

\* 島根県立三瓶自然館, 〒 694-0003 島根県大田市三瓶町多根 1121-8

The Shimane Nature Museum of Mt. Sanbe (Sahimel), 1121-8 Tane, Sanbe-cho, Ohda, Shimane, 694-0003, Japan

\*\* 兵庫県立大学西はりま天文台, 〒 679-5313 兵庫県佐用郡佐用町西河内 407-2

Nishi-Harima Astronomical Observatory, Center for Astronomy, University of Hyogo, 407-2, Nishigaichi, Sayo-cho, Sayo, Hyogo, 679-5313, Japan

## 2. 観測装置および観測星野

観測では、望遠鏡は三瓶自然館の60 cm 反射望遠鏡F10（図1），冷却CCDはSBIG ST-10XME，フィルタホイールはSBIG FW8-8300をそれぞれ使用している。また、観測時はレデューサを使用し、視野角は28.6 分角 × 19.2 分角（図2）である。望遠鏡およびCCDの制御は、それぞれ、Nishimura The Master of Telescope およびMSB Astroart5を使用した。相対測光のための比較星としてBD+41° 379およびBD+41° 383を選択し、標準的な露出時間は、それぞれ、B バンドでは45秒、V バンドでは20秒程度である。観測データの整約は、AIP4Win (Astronomical Image Processing for Windows) を使用し、ダーク処理、フラット処理を行った後、アパーチャーメートを行っている。



図1 三瓶自然館60 cm 反射望遠鏡

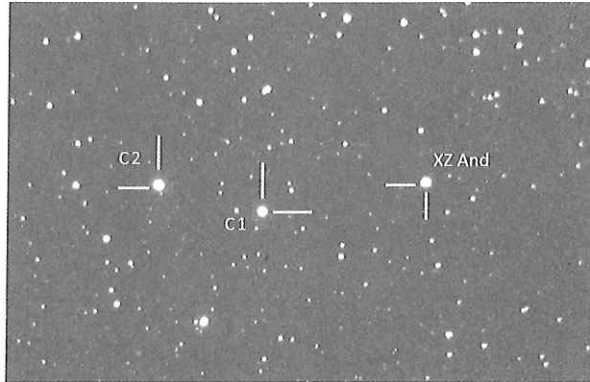


図2 観測星野(28.6 分角×19.2 分角)

## 3. 使用した光度曲線解析ソフト

光度曲線解析は、PHOEBE (PHysics Of Eclipsing BinariEs) を使用した。PHOEBE は、観測データ（測光および分光）をもとに食連星のモデリングを行うパッケージであり、Prsa (2005) を中心にWilson-Devinney (WD) コードをベースに、オープンソース (GPL2) としてコミュニティ開発が行われてい

る。安定版はPHOEBE 1.0 (legacy) であり、現在、PHOEBE 2.0の開発が行われている。使用できるOSは、PHOEBE 1.0については、Ubuntu, MS Windows, Mac の3種類がある。今回の解析では、Mac版のPHOEBE 1.0 ver 3.1を使用した。

## 4. 解析結果および考察

解析は、2012年11月から2015年9月までの観測で得られたB バンドとV バンドの測光データをもとに行った。今回のPHOEBEによるXZ Andの解析では、主星を輻射平衡型、伴星を対流平衡型とし、反射効果については $A_1 = 1$ および $A_2 = 0.5$  (Rucinski, 1969)，重力減光指数については、 $g_1 = 1$ および $g_2 = 0.32$  (von Zeipel, 1924; Lucy, 1967)とした。図3に観測データとPHOEBEで得られた解による理論光度曲線を示す。今回の解析では、光度曲線のうち、主極小は比較的よく再現できているが、副極小や食外の位相では理論曲線と観測データに乖離が残っていることがわかる。

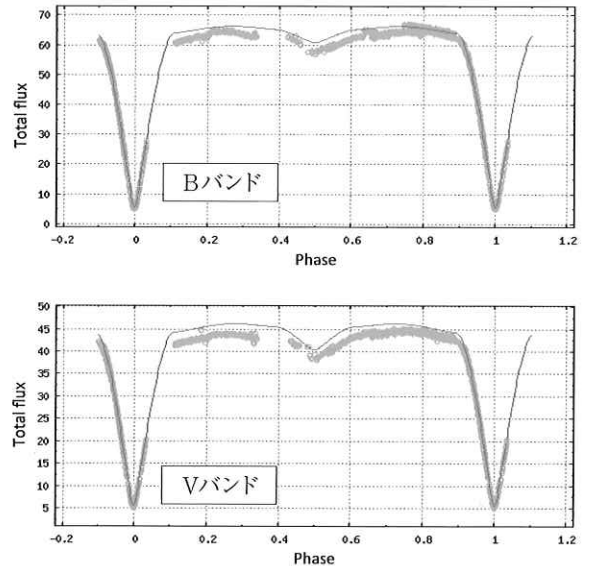


図3 XZ And の光度曲線  
(実線がPHOEBE で得られた解による理論光度曲線)

また、PHOEBE では、解析により光度曲線のほかに、それぞれの位相での成分星の形状を得ることができる（図4）。今回の結果から、XZ Andは、連星を構成する恒星の片方がロッシュ・ロープを満たしており、もう一方は満たしていない、半分離型（semi-detached）の形状が再現された。

主極小（位相0.00）のようすを見ると、背後の主星がわずかにはみ出しており、皆既食に近い部分食、いわゆる Grazing Eclipse (かすり日食) に限りなく近い状態になっている。Blitzstein (1954) による観測およ

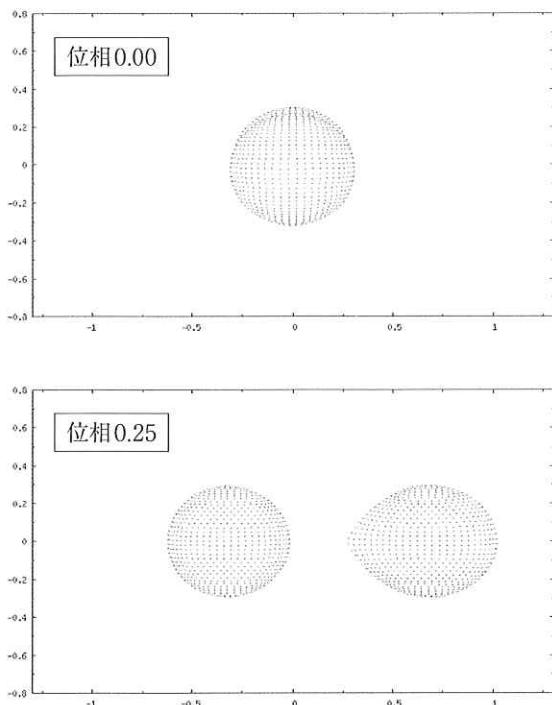


図4 XZ And の成分星の形状

び解析では、主極小は11分継続する皆既食とされているが、Grazing Eclipse に近いため、実際は部分食であるが皆既という結果になったと考えられる。

表2に、今回の解析で得られたパラメータと、以前に報告されている多色測光とWDコードによるXZ And の光度曲線解析 (Yang, 2013) の比較を示す。それぞれの恒星の質量の値に違いがあるが、それ以外のパラメータについては、おおむねよく一致をしている。

視線速度の観測結果 (Manzoori, 2016) より Mass ratio ( $m_2/m_1$ ) は  $q = 0.485 \pm 0.021$  であり、今回の解析の方がより近い値となっている。

表2 XZ And の光度曲線解析の結果の比較

Parameter	本研究	Yang (2013)
Teff_1(K)	$9582 \pm 332$	9400
Teff_2(K)	$5009 \pm 72$	5094
inclination(deg)	$88.146 \pm 0.006$	88.40
Mass ratio( $m_2/m_1$ )	$0.480 \pm 0.001$	0.474
Mass 1( $M_\odot$ )	$2.723 \pm 0.003$	2.15
Mass 2( $M_\odot$ )	$1.306 \pm 0.003$	1.02
Radius 1( $R_\odot$ )	$2.451 \pm 0.001$	2.30
Radius 2( $R_\odot$ )	$2.601 \pm 0.002$	2.59
$L_1/(L_1+L_2)_B$	$0.9641 \pm 0.0006$	0.9609
$L_2/(L_1+L_2)_B$	$0.0359 \pm 0.0006$	0.0391
$L_1/(L_1+L_2)_V$	$0.9234 \pm 0.0009$	0.9198
$L_2/(L_1+L_2)_V$	$0.0766 \pm 0.0009$	0.0802
$A(R_\odot)$	$8.21 \pm 0.01$	

## 5. 今後の展望

三瓶自然館では、XZ And の全位相をカバーできるよう、引き続き B および V バンドでの観測を行い、その後は、近年、アルゴル型連星系で見つかっている主星の短周期振動の検出を目的に、単バンド (B バンド) で観測を行う予定である。また、XZ And のモデリングの精度を上げるための分光観測を実施し、測光データとあわせた解析を行いたい。

2018年に打ち上げられたトランジット系外惑星探索衛星 (Transiting Exoplanet Survey Satellite, TESS) では、全天を 600nm から 1000nm のバンドパスフィルターで撮影しており、公開されているデータを解析し、比較を行いたい。

## 参考文献

- Blitzstein, W. (1954) The eclipsing variable XZ Andromedae. Astronomical Journal, 59, 251-256
- Demircan, O., Akalin, A., Selam, S., Derman, E., & Mueyesseroglu, Z. (1995) A period study of XZ Andromedae. Astronomy and Astrophysics Supplement, v.114, p.167
- Giuricin, G., Mardirossian, F., Mezzetti, M. (1983) General properties of Algol binaries, Astrophysical Journal Supplement Series, 52, 35-60
- Halbedel, E. M. (1984) Spectral Types of Eclipsing Binaries. Information Bulletin on Variable Stars, 2549
- Hill, G., Hilditch, R. W., Younger, F., Fisher, W. A. (1975) MK classifications of some Northern Hemisphere binary systems. Royal Astronomical Society, Memoirs, 79, 131-144
- Lause, F. (1934) Beobachtungen von Bedeckungsveränderlichen. II. Astronomische Nachrichten, 253, 403-408
- Lucy, L.B. (1967) Gravity-darkening for stars with convective envelopes, Zeitschrift fur Astrophysik, 65, 89-92
- Manzoori, D. (2016) XZ And a semidetached asynchronous binary system, Astronomy Letters, 42, 329-338
- Prša, A.; Zwitter, T. (2005) A Computational Guide to Physics of Eclipsing Binaries. I. Demonstrations and Perspectives, The Astrophysical Journal, 628, 426-438
- Rucinski, S.M. (1969) The Proximity Effects in Close Binary Systems. II. The Bolometric Reflection Effect for Stars with Deep Convective Envelopes, Acta Astronomica, 19, 245
- von Zeipel, H. (1924) The radiative equilibrium of a rotating system of gaseous masses, Monthly Notices of the Royal Astronomical Society, 84, 665-683
- Wilson, R. E. and Devinney, E. J. (1971) Realization of Accurate Close-Binary Light Curves: Application to MR

Cygni, *Astrophysical Journal*, 166, 605-619

Yang, Y.G. (2013) A new photometry and period analysis of  
the Algol-type binary XZ And, *New Astronomy*, 25, 109-113

矢田猛士 (2015) 三瓶自然館での冷却CCD カメラによる多色測  
光システム整備およびアルゴル系 XZ And の観測, 島根県立三  
瓶自然館研究報告, 13, 45-49